



## Investigating the internal resonance and energy exchange between the vibration modes of a cracked beam

### ARTICLE INFO

#### Article Type

Original Research

#### Authors

Rezaee M.\*<sup>1</sup> PhD,  
Shaterian\_Alghalandis V.<sup>1</sup> MSc

#### How to cite this article

Rezaee M, Shaterian\_Alghalandis V. Investigating the internal resonance and energy exchange between the vibration modes of a cracked beam. Modares Mechanical Engineering, 2019;19 (9): 2139-2148.

<sup>1</sup>Department of Mechanical Engineering, Faculty of Mechanical Engineering, University of Tabriz, Tabriz, Iran

#### \*Correspondence

Address: Department of Mechanical Engineering, Faculty of Mechanical Engineering, University of Tabriz, 29 Bahman Boulevard, East Azarbaijan, Tabriz, Iran. Postal Code: 5166616471

Phone: +98 (41) 33392459

Fax: +98 (41) 33354153

m\_rezaee@tabrizu.ac.ir

#### Article History

Received: March 19, 2018

Accepted: February 4, 2019

ePublished: September 01, 2019

### ABSTRACT

The equations of nonlinear motion of clamped-hinged beam with an open crack were extracted and through solving them, the internal resonance in the cracked beam was studied. To this end, the crack was modeled as a torsional spring and the cracked beam was considered as two beam segments connected by a torsional spring. The equations of motion of the cracked beam were extracted considering the geometrical nonlinearity. Then, using the Galerkin's method, these equations were changed to a set of nonlinear differential equations for vibration modes which were solved by the perturbation method. Since the mechanical energy of the beam in each mode depends on the instantaneous amplitude of vibration of the beam at the corresponding mode, so to analyze the influence of the crack on the energy exchange between the modes, the instantaneous amplitudes of the vibration modes were obtained. The results show that in the cracked beam the magnitude of the energy exchanged between the modes is less and the frequency is more than that in the intact beam. Also, by increasing the crack depth the frequency of energy exchange between the modes increases. The Vibration response obtained for the cracked beam with various amounts of the damping ratios shows that the frequency and the amplitude of energy exchange between the modes are independent of the system damping. To validate the results by the perturbation method, the equations of motions are also solved by a numerical method and the obtained results are in agreement with the results of the analytical method.

**Keywords** Clamped-Hinged Beam; Open Crack; Geometrical Nonlinearity; Internal Resonance; Hilbert Transform

### CITATION LINKS

[1] An analytical approach for obtaining the location and depth of an all-over part-through crack on externally in-plane loaded rectangular plate ... [2] A novel method for crack detection in beam-like structures by measurements ... [3] Identification of a crack in clamped-clamped beam using frequency-based method ... [4] On the classification of normalized natural frequencies for damage detection ... [5] Sensitivity of fundamental mode shape and static deflection for damage identification ... [6] Mode shapes analysis of a cracked beam and its application ... [7] Damage identification techniques via modal curvature analysis: Overview and comparison. Mechanical Systems ... [8] The new frequency response functions for ... [9] Frequency response function based damage identification using principal component analysis and ... [10] Modeling and control of fuel sloshing and its effect ... [11] Analysis of the nonlinear behavior of the free vibration of a cantilever beam with a fatigue crack using ... [12] A theoretical and experimental investigation on free vibration behavior of a cantilever beam ... [13] Structural damage evaluation ... [14] A generalized flexibility matrix based approach for ... [15] Detection of fatigue cracks in flexible geometrically non-linear bars by ... [16] Geometrically non-linear free vibrations of clamped-clamped beams ... [17] Geometrically non-linear steady state periodic forced response of a clamped-clamped beam with an edge ... [18] Vibration based damage detection in composite beams under temperature variations using ... [19] Non-linear vibration of Timoshenko damaged beams by a new p-version finite ... [20] Vibrations of beams with a breathing crack and large amplitude ... [21] Nonlinear reduced models for beam damage detection using data on moving oscillator ... [22] Nonlinear vibration of edge cracked functionally graded ... [23] Geometrically nonlinear free vibration of composite materials: Clamped-clamped functionally graded beam with an edge crack using ... [24] Geometrically non-linear free and forced vibration of clamped-clamped functionally graded beam ... [25] Nonlinear ... [26] Analytical methods in ... [27] Beam vibrations with an arbitrary number...

## بررسی پدیده تشدید درونی و انتقال انرژی بین مودهای ارتعاشی در تیر ترک‌دار

موسی رضائی \* PhD

گروه مهندسی مکانیک، دانشکده مهندسی مکانیک، دانشگاه تبریز، تبریز، ایران

وحید شاطریان القلندیس MSc

گروه مهندسی مکانیک، دانشکده مهندسی مکانیک، دانشگاه تبریز، تبریز، ایران

### چکیده

در این مقاله معادلات حرکت غیرخطی تیر یک‌سر گیردار و یک‌سر مفصل با ترک‌باز استخراج شده و با حل آن به مطالعه پدیده تشدید درونی در تیر ترک‌دار پرداخته شده است. ترک به صورت یک فنر پیچشی مدل‌سازی شده و تیر ترک‌دار به صورت دو تیر مجزا که با یک فنر پیچشی به هم متصل شده‌اند در نظر گرفته شده است. معادله حرکت تیر ترک‌دار با فرض غیرخطی هندسی استخراج و با استفاده از روش گالرکین به مجموعه‌ای از معادلات غیرخطی برای مودهای ارتعاشی تبدیل شدند و با استفاده از روش اغتشاشات حل شدند. با توجه به وابستگی انرژی مکانیکی تیر با دامنه نوسان آن، برای بررسی انتقال انرژی بین مودهای ارتعاشی و تأثیر ترک در آن، دامنه آنی مودهای ارتعاشی به دست آمد. نتایج به‌دست‌آمده نشان می‌دهد که در تیر ترک‌دار مقدار انرژی انتقالی بین مودها کمتر از تیر سالم بوده ولی نرخ تکرار انتقال انرژی بیشتر از تیر سالم است و نرخ جابه‌جایی انرژی بین مودها با افزایش عمق ترک با شیب تندتری افزایش می‌یابد. همچنین پاسخ ارتعاشی به‌دست‌آمده برای تیر ترک‌دار با میراثی‌های مختلف نشان می‌دهد که مقدار و سرعت انتقال انرژی و وابستگی ناچیزی به میراثی سیستم دارد. برای صحنه‌سنجی نتایج به‌دست‌آمده از روش اغتشاشات، معادلات حرکت با استفاده از روش عددی حل شده و نتایج به‌دست‌آمده حاکی از همخوانی کامل نتایج به‌دست‌آمده از روش‌های تحلیلی و عددی است.

**کلیدواژه‌ها:** تیر یک‌سر گیردار و یک‌سر مفصل، ترک باز، غیرخطی هندسی، تشدید درونی، تبدیل هیلبرت

تاریخ دریافت: ۱۳۹۶/۱۲/۲۸

تاریخ پذیرش: ۱۳۹۷/۱۱/۱۵

\* نویسنده مسئول: m\_rezaee@tabrizu.ac.ir

### ۱- مقدمه

یکی از عیب‌های رایج در تیر به‌عنوان جزء اصلی تشکیل‌دهنده سازه‌ها، وجود ترک است. با توجه به اینکه ترک سبب تغییر در مشخصه‌های مکانیکی تیر می‌شود، در صورتی که تیر ترک‌دار در معرض بارهای دینامیکی واقع شود رفتار ارتعاشی آن متفاوت با رفتار سازه سالم خواهد بود. بنابراین تحلیل ارتعاشات تیرها به‌عنوان روشی برای شناسایی عیوب سازه‌ای شناخته می‌شود. در ادبیات فن، بیشتر مطالعات صورت‌گرفته در زمینه ارتعاشات تیر ترک‌دار، با فرض دامنه ارتعاشی بی‌نهایت کوچک، بر مبنای خطی بودن معادلات حاکم بر حرکت ارتعاشی تیر استوار است. بر این اساس، با تحلیل پاسخ ارتعاشی خطی تیر، پارامترهای متعددی استخراج شده‌اند که وابسته به مشخصه‌های ذاتی تیر بوده و از این رو برای شناسایی ترک مورد استفاده قرار گرفته‌اند. در حوزه ارتعاشات خطی، مهم‌ترین پارامترها برای تشخیص و شناسایی ترک، پارامترهای مودال و مشخصه‌های ارتعاشی استخراج شده از آنها هستند. فرکانس‌های طبیعی تیر به‌عنوان یکی از اصلی‌ترین پارامترها در تحقیقات بی‌شماری به‌منظور شناسایی ترک مورد استفاده قرار گرفته‌اند [1-4]. شکل مودهای ارتعاشی و توابع مشتق شده از آنها مشخصه‌های مودال دیگری هستند که در شناسایی ترک استفاده می‌شوند [5-7]. در مراجع متعددی، توابع پاسخ فرکانسی و تغییرات ایجاد شده در آنها در تیر ترک‌دار به‌عنوان روشی برای شناسایی و مطالعه ترک مورد استفاده قرار گرفته‌اند [8-12]. همچنین، در روش‌های مبتنی بر المان محدود از تغییرات

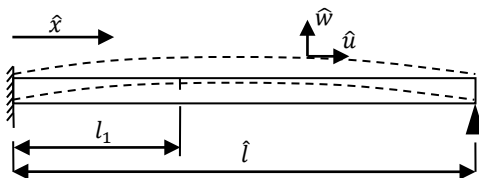
ماتریس‌های سفتی یا انعطاف‌پذیری برای شناسایی ترک استفاده می‌شود [13, 14].

از سوی دیگر، در دامنه‌های ارتعاشی بزرگ‌تر، رفتار ارتعاشی غیرخطی به‌صورت پدیده‌های غیرخطی متعددی مانند تشدید زیرهارمونیک، تشدید فراهارمونیک، خمیدگی منحنی پاسخ فرکانسی، پدیده پرش و غیره بروز می‌کند. با مروری بر ادبیات فن، مشخص می‌شود که تاکنون مطالعات بسیار محدودی در زمینه بررسی تأثیر ترک در رفتار ارتعاشی غیرخطی ناشی از دامنه نوسان صورت گرفته است. سینفانسی و برسونویچ [15] به‌منظور مطالعه ارتعاشات غیرخطی تیر ناشی از غیرخطی هندسی، معادله غیرخطی حاکم بر حرکت ارتعاشی تیر را با در نظر گرفتن رابطه غیرخطی بین انحنای تیر و گشتاور خمشی وارد بر آن استخراج نموده و تأثیر ترک خستگی را به‌صورت کاهش موضعی در ممان اینرسی سطح مقطع تیر در نظر گرفتند. نتایج حاصل از حل معادلات حرکت نشان داد که وجود ترک خستگی سبب ایجاد مولفه‌های غیرخطی جدیدی در پاسخ ارتعاشی تیر می‌شود که مستقل از مولفه‌های غیرخطی ناشی از دامنه نوسان تیر است. برخی از این مشخصه‌ها شامل ایجاد حالت خودتحریکی در طیف فرکانسی زیرهارمونیک، ایجاد مولفه‌های هارمونیک زوج در طیف فراهارمونیک مرتبه ۳/۱ و غیره هستند. محققان با استفاده از این مولفه‌های غیرخطی روش‌های جدیدی برای شناسایی ترک ارائه دادند. الیکری و همکاران [16] از روش ریلی-ریترت تعمیم‌یافته به سیستم‌های غیرخطی برای به‌دست‌آوردن شکل مودهای غیرخطی و فرکانس‌های نوسانی غیرخطی استفاده کردند. بنابراین مقادیر فرکانس‌های طبیعی و شکل مودهای غیرخطی تیرهای ترک‌دار برای مقادیر متنوعی از دامنه‌های نوسان و نیز موقعیت و عمق ترک استخراج شد. همین محققان در تحقیقی دیگر [17] با توسعه روش فوق به ارتعاش اجباری، پاسخ غیرخطی هندسی تیر ترک‌دار را به تحریک هارمونیک با فرکانسی نزدیک به فرکانس طبیعی پایه تیر به دست آوردند. مانوچ و همکاران [18] ارتعاشات با دامنه بزرگ تیر تیموشینکو ترک‌دار تحت تحریک هارمونیک و نیز تحت تغییرات دمایی را با روش‌های عددی و تجربی مورد مطالعه قرار دادند. برای این منظور، با مدل‌سازی ترک به‌صورت کاهش مدول الاستیسیته تیر در پیرامون آن، پاسخ ارتعاشی تیر را به‌صورت عددی و تجربی به دست آورده و با استخراج نمودارهای پوانکاره پاسخ، به بررسی تأثیر ترک در نمودار پوانکاره پاسخ تیر ترک‌دار با دمای متغیر پرداختند. در این تحقیق، تأثیر دما در فرآیند ترک‌یابی در تیر به وضوح نشان داده شد. استاجانویچ و همکاران [19] برای بررسی ارتعاشات تیر تیموشینکو ترک‌دار با دامنه بزرگ از روش المان محدود جدیدی به نام روش "نسخه پی" بهره جستند. در شبیه‌سازی‌های عددی صورت‌گرفته در محدوده ارتعاش خطی، نوعی همبستگی بین مولفه‌های ارتعاش طولی و چرخش سطح مقطع تیر مشاهده شد، به‌طوری که در محل ترک مولفه جابه‌جایی طولی تغییر علامت داده و همزمان، تغییر آبی در مقدار چرخش سطح مقطع ایجاد می‌شود. در ادامه، ارتعاش اجباری غیرخطی هندسی نیز در حوزه زمان و با استفاده از روش نیومارک مورد مطالعه قرار گرفت و ابعاد جدیدی از همبستگی ما بین مولفه‌های جابه‌جایی کشف شد. کارنیرو و همکاران [20] ترک خستگی را با در نظر گرفتن آثار باز و بسته شدن آن به‌صورت یک تابع اغتشاش در توزیع یکنواخت تیر در نظر گرفتند که سبب کاهش ضریب سفتی کلی تیر می‌شود. بنابراین معادله حرکت تیر را با استفاده از روش المان محدود نسخه پی و با معرفی توابع شکل مود جدیدی که آثار ترک را در بر داشته باشد، به

اغتشاشات حل شده و توابع زمانی به دست می‌آید. با توجه به ارتباط بین انرژی مکانیکی تیر با دامنه ارتعاشی آن در یک مود معین، برای بررسی تغییرات انرژی مکانیکی و انتقال آن بین مدهای ارتعاشی، تغییرات زمانی دامنه آنی هر یک از توابع مودال با استفاده از تبدیل هیلبرت به دست آمده و تأثیر ترک در نوسانات دامنه آنی توابع مودال مورد مطالعه قرار می‌گیرد. همچنین، برای صحنه‌سنجی نتایج به دست آمده، دستگاه معادلات غیرخطی مربوط به توابع زمانی با استفاده از روش عددی حل و نتایج آن با نتایج به دست آمده از روش اغتشاشات مورد مقایسه قرار می‌گیرد.

## ۲- معادله حرکت تیر ترک‌دار

در شکل ۱، تیر یکنواخت یک سر گیردار و یک سر مفصل به طول  $l$  و با ترک عرضی در موقعیت  $l_1$  نشان داده شده است. ترک از نوع باز در نظر گرفته می‌شود. در ادبیات فن به منظور تحلیل ارتعاشات خطی تیر ترک‌دار، عموماً تیر ترک‌دار به صورت دو تیر پیوسته مجزا که در محل ترک به یکدیگر متصل هستند در نظر گرفته می‌شود. در این تحقیق با در نظر گرفتن اثر کشش محوری، ارتعاشات غیرخطی هندسی تیر ترک‌دار مورد بررسی قرار می‌گیرد.



شکل ۱) تیر یک سر گیردار و یک سر مفصل با ترک باز

اگر مطابق شکل ۱ جابه‌جایی عرضی تیر در سمت چپ و راست ترک (تیر سمت چپ و راست) را با  $\hat{w}_i$ , ( $i = 1, 2$ )، جابه‌جایی محوری را با  $\hat{u}_i$  و نیروی عرضی وارد بر واحد طول تیر را با  $\hat{F}_i$  نشان دهیم، معادله حرکت ارتعاشی دوبعدی تیر با در نظر گرفتن ارتعاش غیرخطی ناشی از کشش تیر و با چشم‌پوشی از اثرات برش و اینرسی دورانی به صورت زیر به دست می‌آید [25]:

$$\rho A \frac{\partial^2 \hat{u}_i}{\partial \hat{t}^2} - EA \frac{\partial^2 \hat{u}_i}{\partial \hat{x}^2} = \frac{1}{2} EA \frac{\partial}{\partial \hat{x}} \left( \frac{\partial \hat{w}_i}{\partial \hat{x}} \right)^2 \quad (الف-۱)$$

$$\rho A \frac{\partial^2 \hat{w}_i}{\partial \hat{t}^2} + C \frac{\partial \hat{w}_i}{\partial \hat{t}} + EI \frac{\partial^4 \hat{w}_i}{\partial \hat{x}^4} = EA \sigma_i \frac{\partial^2 \hat{w}_i}{\partial \hat{x}^2} + \hat{F} \quad (ب-۱)$$

$$\sigma_i = \frac{\partial \hat{u}_i}{\partial \hat{x}} + \frac{1}{2} \left( \frac{\partial \hat{w}_i}{\partial \hat{x}} \right)^2 \quad (ج-۱)$$

که در آن،  $\rho$  چگالی،  $C$  ضریب میرایی،  $E$  مدول الاستیسیته و  $I$  ممان اینرسی سطح مقطع تیر است.

در تیرهای بلند که ابعاد سطح مقطع تیر در مقایسه با طول آن بسیار کوچک است می‌توان از اینرسی تیر در راستای محوری چشم‌پوشی کرد [25]. در این حالت، با چشم‌پوشی از جمله اینرسی در معادله (۱- الف) و انتگرال‌گیری از معادله حاصل، رابطه (۲) به دست می‌آید.

$$\frac{\partial \hat{u}_i}{\partial \hat{x}} = -\frac{1}{2} \left( \frac{\partial \hat{w}_i}{\partial \hat{x}} \right)^2 + e_i(\hat{t}) \quad (۲)$$

دست آورده و برای حل آن از روش نیومارک بهره جستند. این محققان با مطالعه منحنی‌های فاز به دست آمده از پاسخ ارتعاشی تیر نشان دادند که وجود ترک سبب تغییر در تقارن منحنی‌های فاز می‌شود. همچنین، تأثیر ترک باز و بسته‌شونده در سرعت و شتاب پاسخ ارتعاشی تیر بسیار بیشتر از جابه‌جایی آن است. ماجومدر و همکاران [21] از پاسخ غیرخطی هندسی تیر اویلر برنولی ترک‌دار به یک بار متحرک برای شناسایی ترک بهره جستند. برای این کار از روش المان محدود که در آن، ماتریس‌های سازه‌ای متغیر با زمان هستند، بهره گرفته شد. در نهایت، پارامترهای ترک با حل دسته‌ای از معادلات غیرخطی فرامعین به دست آمدند. کیتی پورنچای و همکاران [22] ارتعاشات غیرخطی تیر مدرج تابعی با یک ترک باز را با استفاده از تئوری تیر تیموشینکو و با در نظر رفتار غیرخطی هندسی وون کارمن مورد مطالعه قرار دادند. در این تحقیق، مقطع ترک‌دار به وسیله فنر پیچشی بدون جرم شبیه‌سازی شده و برای استخراج معادله مشخصه حاکم بر نوسان تیر و به دست آوردن فرکانس‌های طبیعی غیرخطی از روش ریتز بهره گرفته شده و مطالعه جامعی برای بررسی تأثیر ترک و مشخصات مکانیکی مواد تیر، نسبت رعنائی آن و شرایط مرزی روی مشخصه‌های ارتعاش غیرخطی آزاد تیر ترک‌دار صورت گرفت. چاجی و همکاران [23] ارتعاشات غیرخطی تیر مدرج تابعی متخلخل دو سرگیردار با یک ترک عرضی را مورد مطالعه قرار دادند. برای این منظور، یک سیستم همگن و ایزوتروپیک معادل برای تیر متخلخل تعریف کرده و سپس با استفاده از اصل همیلتون و با در نظر گرفتن مدل نیمه‌تحلیلی برای پاسخ تیر، معادلات حرکت تیر به صورت مجموعه معادلات مقدار ویژه غیرخطی استخراج و با حل آنها مقادیر فرکانس‌های طبیعی غیرخطی و شکل مدهای ارتعاشی تیر را به دست آوردند. از نتایج به دست آمده از این تحقیق برای استخراج پاسخ ارتعاش اجباری تیر به تحریک هارمونیک استفاده شد [24].

یکی از پدیده‌های غیرخطی ناشی از کشش که در تیرهای دو سر ثابت می‌آید، تشدید درونی است که در آن، در حین ارتعاش تیر انرژی مکانیکی به صورت متناوب در میان مدهای ارتعاشی غیرخطی آن جابه‌جا شده و در نتیجه، سطح انرژی هر یک از مدهای ارتعاشی دچار تغییرات نوسانی می‌شود. با توجه به ارتباط بین انرژی مکانیکی تیر و دامنه نوسان آن در هر یک از مدهای ارتعاشی، پدیده تشدید درونی را می‌توان با بررسی دامنه آنی نوسان تیر در هر یک از مدهای ارتعاشی مورد مطالعه قرار داد. از سوی دیگر همان‌طور که اشاره شد، در ادبیات فن در مورد تأثیر عیوب سازه‌ای در پدیده تشدید درونی نیز همانند سایر پدیده‌های غیرخطی ناشی از دامنه نوسان تحقیقی صورت نگرفته است. بنابراین در این مقاله تأثیر ترک در تشدید درونی یک تیر یک سر گیردار و یک سر مفصل تحت ارتعاشات آزاد میرا مورد مطالعه قرار می‌گیرد. برای این منظور، معادله حرکت حاکم بر تیر ترک‌دار با فرض دامنه نوسان بزرگ و میرایی از نوع ویسکوز و با چشم‌پوشی از اثر نیروی برشی و اینرسی چرخشی استخراج می‌شود. در این شرایط با توجه به ثابت بودن دو انتهای تیر، در حین نوسان، تیر تحت کشش واقع شده و این موضوع سبب ارتعاشات غیرخطی از نوع هندسی می‌شود. معادله حرکت غیرخطی به دست آمده برای تیر ترک‌دار با استفاده از روش گالرکین به دستگاه معادلات دیفرانسیل غیرخطی کوپل برای بخش زمانی پاسخ ارتعاشی تیر تبدیل می‌شود که پارامترها و ضرایب آنها به مشخصه‌های مکانیکی تیر و ترک موجود در آن وابسته هستند؛ این معادلات، برای ترک‌های مختلف و به‌ازای مقادیر مختلف میرایی سیستم با استفاده از روش‌های

همانند تابع  $\hat{w}$ ، تابع  $e$  را نیز می‌توان برای دو بخش تیر با یک تابع واحد تعریف نمود:

$$e = e_1 + H(\hat{x} - \hat{l}_1)(e_2 - e_1) \quad (۸)$$

به این ترتیب معادله حرکت ارتعاش عرضی تیر، رابطه (۸-ب)، به صورت زیر بازنویسی می‌شود:

$$\rho A \frac{\partial^2 \hat{w}}{\partial \hat{t}^2} + C \frac{\partial \hat{w}}{\partial \hat{t}} + EI \frac{\partial^4 \hat{w}}{\partial \hat{x}^4} = EAe \frac{\partial^2 \hat{w}}{\partial \hat{x}^2} + \hat{F} \quad (۹)$$

قبل از حل معادله (۹)، متغیرهای بی‌بعد زیر را تعریف می‌کنیم:

$$x = \frac{\hat{x}}{L}$$

$$w = \frac{\hat{w}}{L}$$

$$u = \frac{\hat{u}}{L}$$

$$F = \frac{L}{EA} \hat{F}$$

$$t = \frac{\hat{t}}{L^2} \sqrt{\frac{E}{\rho}} \hat{t}$$

$$r = \frac{\hat{r}}{L}$$

$$l = \frac{\hat{l}}{L}$$

که در آن،  $\hat{r}$  شعاع ژیراسیون سطح مقطع و  $L$  طول مشخصه تیر است.

با جای‌گذاری روابط (۱۰) در معادله (۹)، معادله بی‌بعد شده حرکت به صورت زیر به دست می‌آید:

$$r^2 \left( \frac{\partial^2 w}{\partial t^2} + 2\mu \frac{\partial w}{\partial t} + \frac{\partial^4 w}{\partial x^4} \right) = e \frac{\partial^2 w}{\partial x^2} + F \quad (۱۱)$$

معادله (۱۱) در حقیقت معادله حرکت غیرخطی هندسی تیر است که در این تحقیق، با بهره‌گیری از توابع استخراج‌شده در معادلات (۶) و (۸) به تیر ترک‌دار با ترک باز تعمیم داده شده است.

برای حل معادله (۱۱) از روش گالرکین استفاده می‌شود. برای این منظور، پاسخ معادله غیرخطی (۱۱) مطابق رابطه (۱۲) به صورت مجموعی از حاصل‌ضرب‌های شکل مودهای خطی تیر ترک‌دار و توابع مودال زمانی در نظر گرفته می‌شود. همچنین، با توجه به این که در این تحقیق، هدف مطالعه ارتعاشات غیرخطی ضعیف تیر ترک‌دار است، برای اجتناب از ایجاد آثار غیرخطی شدید، دامنه نوسان تیر کم و از مرتبه‌ای کوچکتر از شعاع ژیراسیون سطح مقطع آن در نظر گرفته می‌شود، در این شرایط از یک سو با توجه به ثابت بودن دو انتهای تیر، کشش ایجادشده در آن در حین ارتعاش سبب ایجاد آثار غیرخطی هندسی در آن شده و از سوی دیگر به علت دامنه نوسان کوچک، از اثرات برشی و دورانی چشم‌پوشی می‌شود. تابع  $w$  را می‌توان به صورت رابطه (۱۲) تعریف کرد:

$$w = r^k \sum_{n=1}^{\infty} \phi_n(x) \eta_n(t) \quad (۱۲)$$

که در آن،  $\eta_n(t)$  تابع زمانی و  $\phi_n(x)$  شکل مود خطی  $n$ ام تیر با

که در آن، تابع زمانی  $e_1(t)$  ناشی از انتگرال‌گیری نسبت به متغیر زمانی  $\hat{x}$  است و با توجه به شرایط مرزی تیر تعیین می‌شود. همچنین، با توجه به روابط (۲) و (۱-ج) تابع  $e_1(t)$  همان تابع  $\sigma_1$  است که در رابطه تعریف شده (۱-ج) است. با انتگرال‌گیری مجدد از رابطه (۲)، جابه‌جایی محوری تیر در طرفین ترک با رابطه (۳) تعریف می‌شود:

$$\hat{u}_1 = e_1(\hat{t})\hat{x} + c_1(\hat{t}) - \frac{1}{2} \int_0^{\hat{x}} \left( \frac{\partial \hat{w}_1}{\partial \hat{x}} \right)^2 d\hat{x} \quad 0 \leq \hat{x} \leq \hat{l}_1 \quad (۳-الف)$$

$$\hat{u}_2 = e_2(\hat{t})(\hat{x} - \hat{l}_1) + c_2(\hat{t}) - \frac{1}{2} \int_{\hat{l}_1}^{\hat{x}} \left( \frac{\partial \hat{w}_2}{\partial \hat{x}} \right)^2 d\hat{x} \quad \hat{l}_1 \leq \hat{x} \leq \hat{l}_2 \quad (۳-ب)$$

که در آن  $c_1$  و  $c_2$  همانند  $e_1$ ،  $e_2$  با شرایط مرزی تیر تعیین می‌شوند. با توجه به ثابت بودن تیر در دو انتها، شرایط مرزی در ابتدای تیر ۱ و انتهای تیر ۲ به صورت جابه‌جایی صفر خواهد بود:

$$\hat{u}_1(0, \hat{t}) = 0 \quad (۴-الف)$$

$$\hat{u}_2(\hat{l}, \hat{t}) = 0 \quad (۴-ب)$$

همچنین، با توجه به پیوستگی جابه‌جایی محوری و نیروی محوری در محل ترک، خواهیم داشت:

$$\hat{u}_1(\hat{l}_1, \hat{t}) = \hat{u}_2(\hat{l}_1, \hat{t}) \quad (۵-الف)$$

$$\frac{\partial \hat{u}_1}{\partial \hat{x}}(\hat{l}_1) = \frac{\partial \hat{u}_2}{\partial \hat{x}}(\hat{l}_1) \quad (۵-ب)$$

با قراردادن رابطه (۳) در روابط (۴) و (۵) توابع  $e_1$  و  $e_2$  در نهایت به صورت رابطه (۶) زیر استخراج می‌شوند:

$$e_1(t) = \frac{\hat{l}_2}{2\hat{l}} \left( \left( \frac{\partial \hat{w}_1}{\partial \hat{x}} \right)^2 \Big|_{\hat{l}_1} - \left( \frac{\partial \hat{w}_2}{\partial \hat{x}} \right)^2 \Big|_{\hat{l}_1} \right) + \frac{1}{2\hat{l}} \int_0^{\hat{l}_1} \left( \frac{\partial \hat{w}_1}{\partial \hat{x}} \right)^2 d\hat{x} + \frac{1}{2\hat{l}} \int_{\hat{l}_1}^{\hat{l}} \left( \frac{\partial \hat{w}_2}{\partial \hat{x}} \right)^2 d\hat{x} \quad (۶-الف)$$

$$e_2(t) = \frac{\hat{l}_1}{2\hat{l}} \left( \left( \frac{\partial \hat{w}_2}{\partial \hat{x}} \right)^2 \Big|_{\hat{l}_1} - \left( \frac{\partial \hat{w}_1}{\partial \hat{x}} \right)^2 \Big|_{\hat{l}_1} \right) + \frac{1}{2\hat{l}} \int_0^{\hat{l}_1} \left( \frac{\partial \hat{w}_1}{\partial \hat{x}} \right)^2 d\hat{x} + \frac{1}{2\hat{l}} \int_{\hat{l}_1}^{\hat{l}} \left( \frac{\partial \hat{w}_2}{\partial \hat{x}} \right)^2 d\hat{x} \quad (۶-ب)$$

به منظور ساده‌سازی و خلاصه‌نمودن معادلات، می‌توان جابه‌جایی عرضی تیر،  $w$ ، را در سرتاسر آن با تابع واحدی به صورت زیر تعریف کرد:

$$\hat{w} = \begin{cases} \hat{w}_1 & 0 \leq \hat{x} \leq \hat{l}_1 \\ \hat{w}_2 & \hat{l}_1 \leq \hat{x} \leq \hat{l} \end{cases} \quad (۷) = \hat{w}_1 + H(\hat{x} - \hat{l}_1)(\hat{w}_2 - \hat{w}_1)$$

که در آن،  $H$  تابع هوی‌ساید است.



نیز می‌توان همانند  $\bar{W}$  و  $e$  برای دو بخش تیر با یک رابطه تعریف کرد:

$$\phi_n(x) = \phi_n^1 + H(x - l_1)(\phi_n^2 - \phi_n^1) \quad (19)$$

شکل مدهای ارتعاشی را می‌توان به صورت رابطه (۲۰) نرمالیزه نمود:

$$\int_0^l \phi_i(x)\phi_j(x)dx = \delta_{ij} = \begin{cases} 0 & i \neq j \\ 1 & i = j \end{cases} \quad (20)$$

با جای‌گذاری تابع  $w$  در معادله (۱۱)، ضرب طرفین در شکل مورد دلخواه  $n$  ام و انتگرال‌گیری در طول تیر و با توجه به تعامد شکل مدهای تیر ترک‌دار، در نهایت مجموعه معادلات حرکت تیر ترک‌دار به صورت زیر استخراج می‌شوند:

$$\ddot{\eta}_n + 2\epsilon\mu_n\dot{\eta}_n + \omega_n^2\eta_n = \epsilon \sum_{m=1}^{\infty} \sum_{p=1}^{\infty} \sum_{q=1}^{\infty} \Gamma_{nmpq} \eta_m \eta_p \eta_q + f_n, \quad n = 1, 2, 3, \dots \quad (21)$$

که در آن:

$$\epsilon = r^{2(k-1)} \quad (22-الف)$$

$$r^{2+k} f_n = \int_0^l F \phi_n dx \quad (22-ب)$$

$$\mu_n = \int_0^l \mu \phi_n^2 dx \quad (22-ج)$$

$$(22-د)$$

$$\begin{aligned} \Gamma_{nmpq} &= \left[ \frac{l_2}{2l} \left( \left( \frac{d\phi_p}{dx} \frac{d\phi_q}{dx} \right) \right) \right]_{l_1^-} \\ &- \left( \frac{d\phi_p}{dx} \frac{d\phi_q}{dx} \right) \Big|_{l_1^+} + \frac{1}{2l} \int_0^l \frac{d\phi_p}{dx} \frac{d\phi_q}{dx} dx \left[ \left( \frac{d\phi_m}{dx} \phi_n \right) \right]_{l_1^-} \\ &- \left[ \frac{l_1}{2l} \left( \left( \frac{d\phi_p}{dx} \frac{d\phi_q}{dx} \right) \right) \right]_{l_1^+} \\ &- \left( \frac{d\phi_p}{dx} \frac{d\phi_q}{dx} \right) \Big|_{l_1^-} + \frac{1}{2l} \int_0^l \frac{d\phi_p}{dx} \frac{d\phi_q}{dx} dx \left[ \left( \frac{d\phi_m}{dx} \phi_n \right) \right]_{l_1^+} \\ &- \left[ \frac{l_1}{2l} \left( \left( \frac{d\phi_p}{dx} \frac{d\phi_q}{dx} \right) \right) \right]_{l_1^+} \\ &- \left( \frac{d\phi_p}{dx} \frac{d\phi_q}{dx} \right) \Big|_{l_1^-} + \frac{1}{2l} \int_0^l \frac{d\phi_p}{dx} \frac{d\phi_q}{dx} dx \left[ \left( \frac{d\phi_m}{dx} \phi_n \right) \right]_{l_1^-} \\ &\times \left( \int_{l_1}^l \frac{d\phi_m}{dx} \frac{d\phi_n}{dx} dx \right) \\ &- \left[ \frac{l_2}{2l} \left( \left( \frac{d\phi_p}{dx} \frac{d\phi_q}{dx} \right) \right) \right]_{l_1^-} \\ &- \left( \frac{d\phi_p}{dx} \frac{d\phi_q}{dx} \right) \Big|_{l_1^+} + \frac{1}{2l} \int_0^l \frac{d\phi_p}{dx} \frac{d\phi_q}{dx} dx \left[ \left( \int_0^{l_1} \frac{d\phi_m}{dx} \frac{d\phi_n}{dx} dx \right) \right] \end{aligned}$$

در رابطه (۲۲-ج) میرانی مودال در نظر گرفته می‌شود.

معادله (۲۱) معادله حرکت غیرخطی تیر ترک‌دار با ترک باز است. ترک باز سبب تغییر در پارامترهای مودال (شکل مدها و

ترک باز است. همچنین، با توجه به اینکه  $r \ll 1$ ، در نتیجه برای کوچک‌بودن دامنه نوسان نسبت به شعاع ژیراسیون  $r$ ، پارامتر  $k$  بزرگ‌تر از یک خواهد بود. برای استخراج شکل مدهای خطی، تیر ترک‌دار به صورت دو تیر مجزا که به وسیله یک فنر پیچشی معادل با ترک باز به هم متصل شده‌اند مدل‌سازی می‌شود [26]. شکل مدهای خطی هر یک از دو بخش تیر در طرفین ترک با استفاده از تئوری تیر اویلر-برنولی به صورت رابطه (۱۳) است [27]:

$$\begin{aligned} \phi_n^i(x) &= A_1^i \sin[\beta_i(x - x_{i-1})] + A_2^i \cos[\beta_i(x - x_{i-1})] \\ &+ A_3^i \sinh[\beta_i(x - x_{i-1})] \\ &+ A_4^i \cosh[\beta_i(x - x_{i-1})], \\ x_{i-1} < x < x_i \quad i = 1, 2 \end{aligned}$$

که در آن،  $\phi_n^i(x)$ ،  $i = 1, 2$  به ترتیب بیانگر شکل مود خطی  $n$  ام تیر در سمت چپ و راست ترک است. همچنین،  $\beta_i = \left( \frac{\rho A \omega_i^2}{EI} \right)$ ،  $x_0, x_1, x_2$  به ترتیب برابر  $0, l_1$  و  $l$  هستند. برای تعیین  $\lambda$  ضریب مجهول  $A_j^i$  در رابطه (۱۳)،  $\lambda$  شرط مرزی (۴) شرط مرزی برای تیر فرضی سمت چپ ترک و  $\lambda$  شرط مرزی برای تیر فرضی سمت راست ترک) بایستی تعیین شوند. مطابق شکل ۱، شرایط مرزی ابتدایی تیر چپ، به صورت گیردار و شرایط مرزی انتهایی تیر راست، به صورت مفصل است:

$$w(0, t) = \frac{\partial w}{\partial x}(0, t) = 0 \quad (14-الف)$$

$$w(l, t) = \frac{\partial^2 w}{\partial x^2}(l, t) = 0 \quad (14-ب)$$

همچنین، شرایط مرزی انتهایی تیر اول و ابتدای تیر دوم براساس پیوستگی در جابه‌جایی، گشتاور خمشی و نیروی برشی در محل ترک به صورت روابط (۱۵) بیان می‌شود:

$$w(l_1^-, t) = w(l_1^+, t) \quad (15-الف)$$

$$\frac{\partial^2 w}{\partial x^2}(l_1^-, t) = \frac{\partial^2 w}{\partial x^2}(l_1^+, t) \quad (15-ب)$$

$$\frac{\partial^3 w}{\partial x^3}(l_1^-, t) = \frac{\partial^3 w}{\partial x^3}(l_1^+, t) \quad (15-ج)$$

در نهایت، با توجه به مدل فنر پیچشی در نظر گرفته شده، اختلاف شیب تیر در طرفین ترک مطابق با رابطه (۱۶) با گشتاور خمشی در محل ترک مربوط است:

$$k_s \left[ \frac{\partial w}{\partial x}(l_1^-, t) - \frac{\partial w}{\partial x}(l_1^+, t) \right] = \frac{\partial^2 w}{\partial x^2}(l_1^+, t) \quad (16)$$

که در آن،  $k_s$  ضریب فنر پیچشی بوده و به صورت رابطه (۱۷) تعریف می‌شود [26]:

$$k_s = [6\pi\mu^2 f(\alpha)h]^{-1} \quad (17)$$

که در آن،  $h$  ضخامت بی‌بعد تیر و  $\alpha$  عمق نسبی ترک است و تابع  $f(\alpha)$  به صورت زیر تعریف می‌شود [26]:

$$\begin{aligned} f(\alpha) &= 0.6384 - 1.035\alpha + 3.7201\alpha^2 \\ &- 5.1773\alpha^3 + 7.553\alpha^4 \\ &- 7.332\alpha^5 + 2.4909\alpha^6 \end{aligned} \quad (18)$$

با جای‌گذاری رابطه (۱۶) در روابط (۱۵) تا (۱۷)، یک مساله مقدار ویژه حاصل می‌شود که با حل آن، فرکانس‌های طبیعی بی‌بعد تیر ترک‌دار و نیز ضرایب مجهول  $A_j^i$  و در نتیجه، شکل مدهای خطی تیر ترک‌دار استخراج می‌شوند [26]. شکل مدهای خطی  $\phi_n(x)$  را

$$\omega_2 \dot{a}_2 + \omega_2 \mu_2 a_2 + \frac{1}{8} Q_2 a_1^3 \sin(\gamma_1) = 0 \quad (28-ج)$$

$$\omega_2 (\dot{\gamma}_1 - 3\dot{\gamma}_2 + 3\sigma_2 - \sigma_1) a_2 + \frac{1}{8} (\alpha_{21} a_1^2 + \alpha_{22} a_2^2) a_2 + \frac{1}{8} Q_2 a_1^3 \cos(\gamma_1) = 0 \quad (28-د)$$

که در آن:

$$\gamma_1 = \sigma_1 T_1 + \beta_2 - 3\beta_1,$$

$$\gamma_2 = \sigma_2 T_1 - \beta_1,$$

$$\alpha_{11} = \Gamma_{1111}$$

$$\alpha_{22} = 3\Gamma_{2222},$$

$$Q_1 = 3\Gamma_{1112},$$

$$Q_2 = \Gamma_{2111},$$

$$\alpha_{12} = \alpha_{21} = 2(\Gamma_{1122} + 2\Gamma_{1212})$$

در روابط (۲۸) اندیس پریم بیانگر مشتق نسبت به متغیر زمانی  $T_1$  است. با حل معادلات (۲۸) و قراردادن آن در معادله (۲۷)، تغییرات زمانی توابع  $\eta_{n0}$  به دست می‌آید. با توجه به معادله (۲۳-ب) در صورتی که پارامتر  $\varepsilon$  به اندازه کافی کوچک باشد، می‌توان از جملات مرتبه  $\varepsilon$  صرف نظر نمود. در این شرایط، دامنه توابع زمانی  $\eta_n$  را می‌توان با دقت خوبی برابر با  $a_n$  در نظر گرفت و با مطالعه تغییرات زمانی  $a_n$  می‌توان چگونگی انتقال انرژی بین موده‌های ارتعاشی را مورد مطالعه قرار داد. در ادامه، پاسخ ارتعاش آزاد تیر یک سر گیردار و یک سر مفصل با ترک عرضی باز به‌ازای مقادیر مختلف میرایی سیستم، مورد مطالعه قرار گرفته و با به‌دست‌آوردن دامنه توابع مودال، تاثیر ترک در پدیده تشدید درونی مورد مطالعه قرار می‌گیرد.

### ۳- مطالعه موردی

در این بخش، تغییرات زمانی دامنه موده‌های ارتعاشی اول و دوم تیر ترک‌دار به‌ازای مقادیر مختلف عمق ترک و میرایی سیستم به دست آمده و انتقال انرژی بین موده‌های ارتعاشی مورد بررسی قرار می‌گیرد. مشخصات تیر مطابق جدول ۱ بوده و شرایط مرزی به‌صورت یک سر گیردار و یک سر مفصل در نظر گرفته می‌شود.

جدول ۱) مشخصات مکانیکی و هندسی تیر

جنس	آلومینیوم ۲۰۲۴
طول (سانتی‌متر)	۵۶
عرض (سانتی‌متر)	۲/۵۴
ضخامت (سانتی‌متر)	۰/۶۴
چگالی (کیلوگرم بر مترمکعب)	۲۷۸۰
مدول الاستیسیته (مگاپاسکال)	۷۲۴۰۰

تیر در لحظه اولیه ساکن در نظر گرفته شده و جابه‌جایی اولیه آن به‌صورت ترکیب خطی دو شکل مود اول و با نسبت ۰/۵ مود اول و ۰/۵ مود دوم در نظر گرفته می‌شود. در نمودار ۱ پاسخ تیر در نقطه میانی آن در حالت سالم (a) و حالت ترک‌دار با ترکیب با عمق نسبی ۰/۴ در فاصله نسبی ۰/۶ از انتهای گیردار (b) نمایش داده شده

فرکانس‌های طبیعی) تیر شده و با توجه به روابط استخراج شده (۲۲)، سبب تغییر در ضرایب معادلات حرکت (۲۱) می‌شود.

برای حل معادله (۲۱) از روش مقیاس‌های چندگانه استفاده شده است [25]. در این روش، مقیاس‌های زمانی  $T_p$  به‌صورت رابطه (۲۳-الف) تعریف می‌شوند و متغیر وابسته  $\eta_n$  مطابق رابطه (۲۳-ب) در نظر گرفته می‌شود:

$$T_p = \varepsilon^p t, \quad p = 1, 2, \dots \quad (23-الف)$$

$$\eta_n = \eta_{n0}(T_0, T_1, \dots) + \varepsilon \eta_{n1}(T_0, T_1, \dots) + O(\varepsilon^2) \quad (23-ب)$$

با توجه به متغیرهای مستقل تعریف شده با رابطه (۱۳-الف)، مشتقات زمانی توابع  $\eta_n$  به‌صورت زیر باز تعریف شده و در معادله (۲۱) جایگزین می‌شوند:

$$\frac{d\eta_n}{dt} = \frac{\partial \eta_n}{\partial T_0} + \varepsilon \frac{\partial \eta_n}{\partial T_1} + O(\varepsilon^2) = D_0 \eta_n + \varepsilon D_1 \eta_n + O(\varepsilon^2) \quad (24-الف)$$

$$\frac{d^2 \eta_n}{dt^2} = \frac{\partial^2 \eta_n}{\partial T_0^2} + 2\varepsilon \frac{\partial^2 \eta_n}{\partial T_0 \partial T_1} + \varepsilon^2 \frac{\partial^2 \eta_n}{\partial T_1^2} + O(\varepsilon^3) = D_0^2 \eta_n + 2\varepsilon D_0 D_1 \eta_n + \varepsilon^2 D_1^2 \eta_n + O(\varepsilon^3) \quad (24-ب)$$

با قراردادن روابط (۲۳) و (۲۴) در معادله (۲۱) و با فرض ارتعاشات آزاد خواهیم داشت:

$$D_0^2 \eta_{n0} + \varepsilon (D_0^2 \eta_{n1} + 2D_0 D_1 \eta_{n0}) + \omega_n^2 (\eta_{n0} + \varepsilon \eta_{n1}) = \varepsilon \left\{ \sum_{m=1}^{\infty} \sum_{p=1}^{\infty} \sum_{q=1}^{\infty} [\Gamma_{nmpq} (\eta_{m0} + \varepsilon \eta_{m1}) (\eta_{p0} + \varepsilon \eta_{p1}) \times (\eta_{q0} + \varepsilon \eta_{q1})] - 2\mu_n [D_0 \eta_{n0} + \varepsilon (D_0 \eta_{n1} + D_1 \eta_{n0})] \right\} \quad (25)$$

که با مساوی صفر قراردادن ضرایب توان‌های یکسان  $\varepsilon$  خواهیم داشت:

$$D_0^2 \eta_{n0} + \omega_n^2 \eta_{n0} = 0 \quad (26-الف)$$

$$D_0^2 \eta_{n1} + 2D_0 D_1 \eta_{n0} + \omega_n^2 \eta_{n1} = \sum_{m=1}^{\infty} \sum_{p=1}^{\infty} \sum_{q=1}^{\infty} (\Gamma_{nmpq} \eta_{m0} \eta_{p0} \eta_{q0}) - 2\mu_n D_0 \eta_{n0} \quad (26-ب)$$

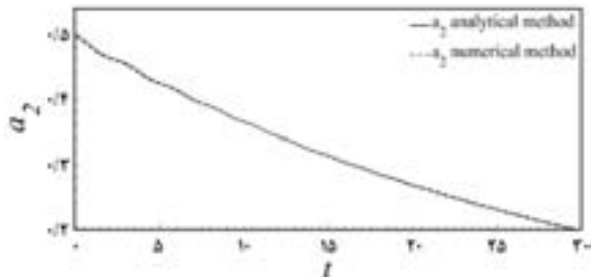
با حل معادله (۲۶-الف)، تابع  $\eta_{n0}$  به‌صورت زیر به دست می‌آید:

$$\eta_{n0} = a_n (T_1) \cos(\omega_n T_0 + \beta_n (T_1)) \quad (27)$$

با قراردادن تابع (۲۷) در معادله (۲۶-ب) و جداسازی جملات سکولار و با لحاظ کردن دو مود ابتدایی تیر، به معادلات حالت زیر برای توابع  $\beta_n$  و  $a_n$  برای  $n = 1, 2$  می‌رسیم که با حل آنها و جای‌گذاری در معادله (۲۷)، توابع  $\eta_n$ ،  $n = 1, 2$  تا مرتبه  $\varepsilon$  به دست خواهند آمد:

$$\omega_1 \dot{a}_1 + \omega_1 \mu_1 a_1 - \frac{1}{8} Q_1 a_1^2 a_2 \sin(\gamma_1) = 0 \quad (28-الف)$$

$$\omega_1 a_1 \dot{\gamma}_2 - \omega_1 a_1 \sigma_2 - \frac{1}{8} (\alpha_{11} a_1^2 + \alpha_{12} a_2^2) a_1 - \frac{1}{8} Q_1 a_1^2 a_2 \cos(\gamma_1) = 0 \quad (28-ب)$$



نمودار ۵) دامنه آنی مود ارتعاشی دوم به دست آمده از روش‌های تحلیلی و عددی

با توجه به نمودارهای ۴ و ۵ نتایج به دست آمده از روش اغتشاشات و روش عددی همخوانی کاملی با یکدیگر دارند. همچنین، با توجه به نمودار ۲ با کاهش دامنه ارتعاشات تیر، نوسانات دامنه مودهای ارتعاشی نیز میرا شده و در نتیجه، انتقال انرژی بین مودها کاهش می‌یابد؛ به طوری که بعد از زمان  $t = 25$  نوسانات دامنه از بین رفته و اثرات تشدید داخلی ناپدید می‌شود. در نمودار ۳ با توجه به روند تغییرات دامنه مودهای ارتعاشات و با توجه به وابستگی آنها به سطح انرژی در هر یک از مودها، می‌توان نتیجه گرفت که بسامد تغییرات انرژی در مودهای ارتعاشی اول و دوم با یکدیگر برابر بوده و سطح انرژی کمینه در یکی از آنها معادل با سطح انرژی بیشینه در مود دیگر است و این موضوع نشان‌دهنده انتقال انرژی بین مودهای ارتعاشی است. همچنین در مود ارتعاشی دوم، به علت برخورداری از سطح بالاتری از انرژی نسبت به مود اول، دامنه نوسانات در حین انتقال انرژی بین مودها نوسانات کمتری نسبت به دامنه مود ارتعاشی دوم خواهد داشت. از این رو، مود ارتعاشی اول برای مطالعه پدیده تشدید درونی مناسب‌تر از مود دوم بوده و بنابراین، در ادامه برای بررسی تاثیر ترک و نیز میرایی سیستم در انتقال انرژی بین مودها، نوسانات دامنه آنی مود اول مورد بررسی قرار می‌گیرد.

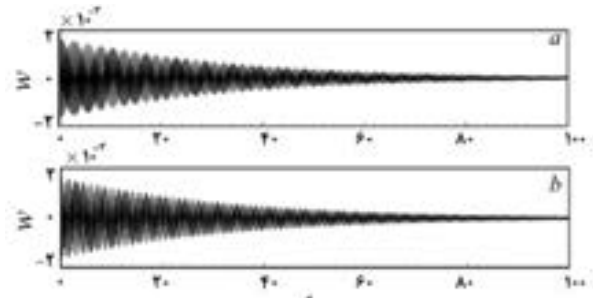
در نمودار ۶ تغییرات دامنه مود ارتعاشی اول تیر سالم و ترک‌دار برای ترک اشاره شده در بالا نمایش داده شده است. با توجه به نمودار ۶، ایجاد ترک دامنه نوسانات  $a_1$  را کاهش و تعداد دفعات نوسان آن را افزایش می‌دهد. بسامد نوسان  $a_1$  در تیرهای ترک‌دار و بدون ترک تقریباً ثابت بوده و به ترتیب برابر با  $0.42$  و  $0.71$  هرترتز است. همچنین، نرخ تغییرات دامنه نوسانات  $a_1$  در تیر ترک‌دار و بدون ترک در نمودار ۷ نمایش داده شده است. در نمودار ۷ متغیر  $a_{Te}$  برابر با نسبت دامنه نوسانات  $a_1$  بر مقدار میانگین آن است.

همان‌طور که ملاحظه می‌شود، شدت نوسان دامنه  $a_1$  در تیر ترک‌دار کمتر از نصف تیر بدون ترک است و بنابراین، می‌توان نتیجه گرفت که وجود ترک در تیر سبب کاهش آثار تشدید درونی در ارتعاشات آزاد تیر شده است.

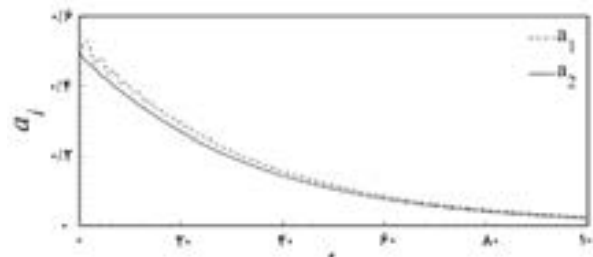
برای بررسی تاثیر ترک در نوسانات دامنه مودهای ارتعاشی در میرایی‌های بالاتر و بررسی تاثیر میرایی سیستم در برهم‌کنش ترک و تشدید درونی تیر، پاسخ ارتعاشی تیر در حالت سالم و حالت ترک‌دار با فرض میرایی مودال  $\zeta = 0.005$  به دست می‌آید. شرایط اولیه تیر و ترک مورد نظر همانند حالت قبل در نظر گرفته می‌شود. در نمودار ۸ تغییرات دامنه  $a_1$  در تیر سالم و ترک‌دار نمایش داده شده است؛ مطابق نمودار، بسامد نوسان  $a_1$  در تیر سالم برابر با  $0.43$  و در تیر ترک‌دار برابر با  $0.72$  است. بنابراین، با مقایسه با نمودار ۶ می‌توان نتیجه گرفت که افزایش میرایی سیستم تاثیری در دفعات نوسان  $a_1$  و در نتیجه بسامد انتقال انرژی بین مودها در

است. در هر دو حالت، سیستم کم میرا و نسبت میرایی مودال سیستم  $(\zeta) 0.002$  در نظر گرفته شده است. در نمودار ۲ به منظور درک بهتر فرآیند انتقال انرژی بین مودهای ارتعاشی اول و دوم، تغییرات زمانی دامنه آنی دو مود اول در نمودار ۲ و نمای بزرگ‌شده‌ای از آن در نمودار ۳ نمایش داده شده است. در این نمودارها،  $a_i, i = 1, 2$  به ترتیب بیانگر دامنه مودهای اول و دوم است.

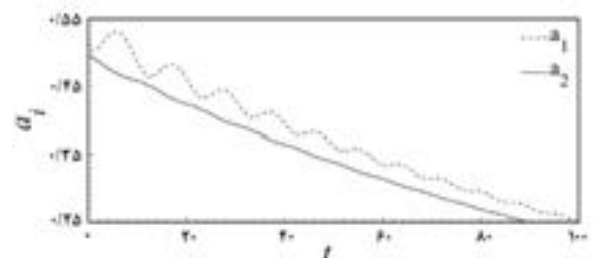
به منظور صحت‌سنجی نتایج به دست آمده از روش اغتشاشات، معادله (۲۱) با استفاده از روش عددی رانگ کوتا نیز حل شد. در نمودارهای ۴ و ۵ تغییرات دامنه مودهای اول و دوم به دست آمده از روش اغتشاشات و روش عددی نمایش داده شده است.



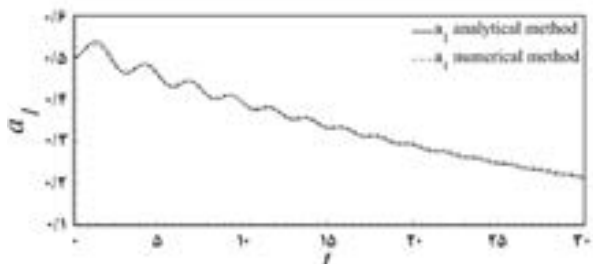
نمودار ۶) پاسخ ارتعاشات آزاد تیر: (a) در حالت سالم، (b) با یک ترک با عمق نسبی  $0.5$  در موقعیت نسبی  $0.6$



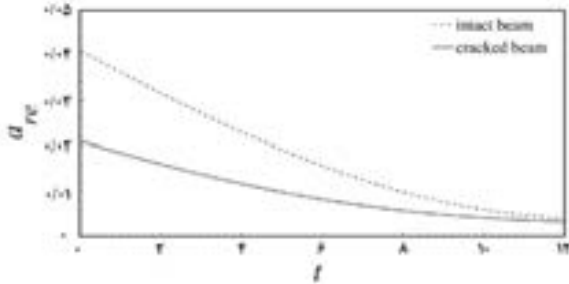
نمودار ۷) دامنه آنی مودهای ارتعاشی اول و دوم تیر سالم



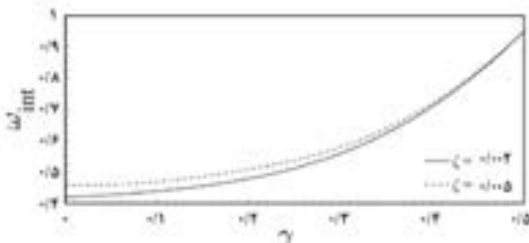
نمودار ۸) تغییرات دامنه آنی مودهای ارتعاشی تیر سالم در لحظات اولیه ارتعاش آزاد



نمودار ۹) دامنه آنی مود ارتعاشی اول به دست آمده از روش‌های تحلیلی و عددی



نمودار ۹) تغییرات  $a_{re}$  در ارتعاشات آزاد تیر سالم و تیر با ترک در موقعیت نسبی ۰/۶ و عمق نسبی ۰/۴، ضریب میرائی مودال ۰/۰۰۵



نمودار ۱۰) تغییرات  $\omega_{int}$  در تیر با ترک در موقعیت  $l_1=0.6$  در برابر عمق نسبی ترک به ازای ضرایب میرائی مودال ۰/۰۰۲ و ۰/۰۰۵

#### ۴- نتیجه گیری

در این مقاله، معادله حرکت ارتعاشی غیرخطی تیر ترک‌دار دو سر ثابت (یک سر گیر دار و یک سر مفصل) تحت دامنه نوسان بزرگ، استخراج و با حل آن، پدیده تشدید درونی و تأثیر ترک و میرائی تیر در این پدیده غیرخطی مورد مطالعه قرار گرفت. برای این منظور، با استفاده از مدل فنر پیچشی برای ترک باز، تیر ترک‌دار به صورت دو تیر مجزا که توسط فنر پیچشی به هم متصل شده‌اند در نظر گرفته شده و معادله حاکم بر ارتعاش تیر، با فرض ارتعاش غیرخطی هندسی ناشی از کشش در تیر استخراج شد. سپس معادله حاکم با استفاده از روش گالرکین به صورت مجموعه‌ای از معادلات غیرخطی کوپل استخراج و این معادلات در حالت ارتعاشات آزاد تیر و با در نظر گرفتن جابه‌جایی اولیه معین حل شد. در حل این معادلات به علت غیرخطی بودن و نیز کوپل بودن آنها از روش اغتشاشات استفاده شد. با حل این معادلات تغییرات دامنه توابع مودال برای مقادیر مختلف عمق ترک و میرائی سیستم استخراج شدند.

نتایج به دست آمده نشان می‌دهد که در تیر ترک‌دار نسبت به تیر بدون ترک دامنه نوسانات دامنه آنی توابع مودال کمتر بوده و بسامد نوسانات دامنه بیشتر است. همچنین، نتایج به دست آمده برای مقادیر مختلف عمق ترک نشان می‌دهد که با افزایش عمق ترک، بسامد نوسان دامنه با نرخ صعودی افزایش یافته و مقدار آن مستقل از میرائی سیستم است. به منظور صحت‌سنجی نتایج به دست آمده از روش اغتشاشات، دستگاه معادلات غیرخطی حاصل، با استفاده از روش عددی نیز حل شده و توابع مودال زمانی استخراج شدند. سپس دامنه آنی تغییرات توابع زمانی با استفاده از روش هیلبرت به دست آمده و با نتایج حاصل شده از روش اغتشاشات مورد مقایسه قرار گرفت.

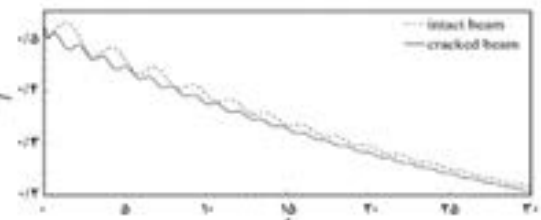
**تشکر و قدردانی:** موردی توسط نویسندگان گزارش نشده است.

**تأییدیه اخلاقی:** موردی توسط نویسندگان گزارش نشده است.

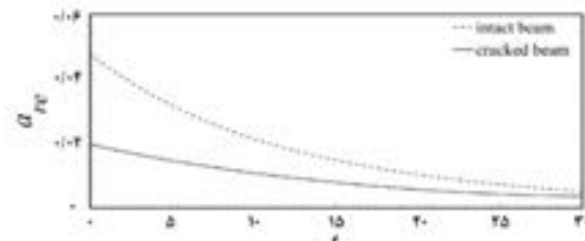
**تعارض منافع:** موردی توسط نویسندگان گزارش نشده است.

تیرهای سالم و ترک‌دار نخواهد داشت. همچنین با مقایسه نمودارهای ۶ و ۸ مشاهده می‌شود افزایش میرائی سیستم، هم در تیر سالم و هم در تیر ترک‌دار سبب کاهش دامنه نوسانات  $a_1$  و میرائی سریع آن شده و در نتیجه آثار پدیده تشدید درونی را کاهش می‌دهد. با این حال، به ازای میرائی بالا نیز همانند حالت قبل، دامنه نوسانات  $a_1$  در تیر ترک‌دار نسبت به تیر سالم کاهش ولی دفعات نوسان آن افزایش می‌یابد. این موضوع با بررسی نمودار ۹ که تغییرات زمانی دامنه نسبی نوسان  $a_1$  را نشان می‌دهد قابل استنتاج است. در نهایت، برای بررسی روند تغییرات پدیده تشدید درونی با افزایش عمق ترک، تغییرات بسامد نوسان  $a_1$  برای مقادیر مختلف عمق ترک محاسبه شد.

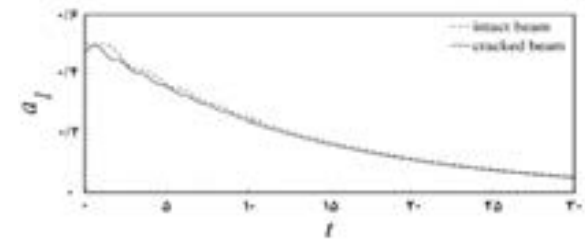
در نمودار ۱۰ تغییرات بسامد تشدید درونی با افزایش عمق ترک برای تیر با نسبت‌های میرائی  $\zeta = 0.002$  و  $\zeta = 0.005$  نشان داده شده است. در این نمودار،  $\omega_{int}$  نشان‌دهنده بسامد انتقال انرژی بین مدهای اول و دوم بوده و  $\gamma$  عمق نسبی ترک است. با توجه به نمودار، با افزایش عمق ترک،  $\omega_{int}$  با شیب صعودی افزایش می‌یابد. همچنین، مقدار  $\omega_{int}$  همان‌طور که قبلاً نیز مشخص شد، تقریباً مستقل از مقدار میرائی سیستم است. در نهایت، بررسی‌های به عمل آمده نشان داد که در میرائی‌های بالاتر اثر پدیده تشدید درونی در پاسخ ارتعاشی تیر از بین می‌رود. همچنین، پاسخ ارتعاشی به دست آمده برای موقعیت‌های مختلف ترک، نشان‌دهنده تأثیر مشابه ترک در تشدید درونی تیر است. به عبارت دیگر، با افزایش عمق ترک در هر موقعیتی از تیر، بسامد نوسان دامنه مدها افزایش و دامنه آن کاهش می‌یابد.



نمودار ۶) تغییرات  $a_1$  در ارتعاشات آزاد تیر سالم و تیر با ترک در موقعیت نسبی ۰/۶ و عمق نسبی ۰/۴، ضریب میرائی مودال ۰/۰۰۲



نمودار ۷) تغییرات  $a_{re}$  در ارتعاشات آزاد تیر سالم و تیر با ترک در موقعیت نسبی ۰/۶ و عمق نسبی ۰/۴، ضریب میرائی مودال ۰/۰۰۲



نمودار ۸) تغییرات  $a_1$  در ارتعاشات آزاد تیر سالم و تیر با ترک در موقعیت نسبی ۰/۶ و عمق نسبی ۰/۴، ضریب میرائی مودال ۰/۰۰۵



damage identification in cantilever beams. *Mechanical Systems and Signal Processing*. 2011;25(2):630-643.

6- Nguyen KV. Mode shapes analysis of a cracked beam and its application for crack detection. *Journal of Sound and Vibration*. 2014;333(3):848-872.

7- Dessi D, Camerlengo G. Damage identification techniques via modal curvature analysis: Overview and comparison. *Mechanical Systems and Signal Processing*. 2015;52-53:181-205.

8- Gelman L. The new frequency response functions for structural health monitoring. *Engineering Structures*. 2010;32(12):3994-3999.

9- Bandara RP, Chan THT, Thambiratnam DP. Frequency response function based damage identification using principal component analysis and pattern recognition technique. *Engineering Structures*. 2014;66:116-128.

10- Mohan SC, Maiti DK, Maity D. Structural damage assessment using FRF employing particle swarm optimization. *Applied Mathematics and Computation*. 2013;219(20):10387-10400.

11- Rezaee M, Fekrmandi H. Analysis of the nonlinear behavior of the free vibration of a cantilever beam with a fatigue crack using Lindstedt-Poincaré's method. *Amirkabir Journal of Mechanical Engineering*. 2014;46(2):29-31.

12- Rezaee M, Fekrmandi H. A theoretical and experimental investigation on free vibration behavior of a cantilever beam with a breathing crack. *Shock and Vibration*. 2012;19(2):175-186.

13- Na C, Kim SP, Kwak HG. Structural damage evaluation using genetic algorithm. *Journal of Sound and Vibration*. 2011;330(12):2772-2783.

14- Li J, Wu B, Zeng QC, Lim CW. A generalized flexibility matrix based approach for structural damage detection. *Journal of Sound and Vibration*. 2010;329(22):4583-4587.

15- Tsyfansky SL, Beresnevich VI. Detection of fatigue cracks in flexible geometrically non-linear bars by vibration monitoring. *Journal of Sound and Vibration*. 1998;213(1):159-168.

16- El Bikri K, Benamar R, Bennouna MM. Geometrically non-linear free vibrations of clamped-clamped beams with an edge crack. *Computers & Structures*. 2006;84(7):485-502.

17- Merrimi EB, El Bikri K, Benamar R. Geometrically non-linear steady state periodic forced response of a clamped-clamped beam with an edge open crack. *Comptes Rendus Mécanique*. 2011;339(11):727-742.

18- Manoach E, Samborski S, Mitura A, Warminski J. Vibration based damage detection in composite beams under temperature variations using Poincaré maps. *International Journal of Mechanical Sciences*. 2012;62(1):120-132.

19- Stojanović V, Ribeiro P, Stoykov S. Non-linear vibration of Timoshenko damaged beams by a new  $p$ -version finite element method. *Computers & Structures*. 2013;120:107-119.

20- Carneiro GN, Ribeiro P. Vibrations of beams with a breathing crack and large amplitude displacements. *Proceedings of the Institution of Mechanical Engineers Part C Journal of Mechanical Engineering Science*. 2016;230(1):34-54.

21- Majumder L, Manohar CS. Nonlinear reduced models for beam damage detection using data on moving oscillator-beam interactions. *Computers & Structures*. 2004;82(2-3):301-314.

**سهم نویسندگان:** موسی رضائی (نویسنده اول)، روش‌شناس/پژوهشگر اصلی (۵۰٪)؛ وحید شاطریان القلندیس (نویسنده دوم)، پژوهشگر اصلی (۵۰٪)

**منابع مالی:** موردی توسط نویسندگان گزارش نشده است.

#### ۵) پی‌نوشت

#### علام انگلیسی

$C$	ضریب میرایی ویسکوز
$E$	مدول الاستیسیته
$\hat{F}$	نیروی عرضی وارد بر واحد طول تیر
$F$	نیروی عرضی بی‌بعد وارد بر واحد طول تیر
$f_n$	نیروی عرضی مودال وارد بر تیر
$H$	تابع هوی‌ساید
$h$	ضخامت بی‌بعد تیر
$I$	ممان اینرسی سطح مقطع تیر
$k_s$	ضریب فنر پیچشی بوده
$L$	مشخصه طول در بی‌بعد سازی معادلات
$\hat{l}_1$	موقعیت طولی ترک در تیر
$\hat{l}$	طول تیر
$\hat{r}$	شعاع ژیراسیون سطح مقطع
$r$	شعاع ژیراسیون بی‌بعد سطح مقطع
$T_p$	متغیر زمانی مرتبه $p$ در روش مقیاس‌های چندگانه
$\hat{t}$	متغیر زمانی
$t$	متغیر زمانی بی‌بعد
$\hat{u}$	جاب‌جایی طولی تیر
$u$	جاب‌جایی طولی بی‌بعد تیر
$\hat{w}$	جاب‌جایی عرضی تیر
$w$	جاب‌جایی عرضی بی‌بعد تیر
$\hat{x}$	متغیر مکانی تیر
$x$	متغیر مکانی بی‌بعد تیر

#### علام یونانی

$\alpha$	عمق نسبی ترک
$\varepsilon$	پارامتر کوچک بی‌بعد در روش اغتشاشات
$\zeta$	ضریب میرایی ویسکوز مودال
$\eta_n$	تابع زمانی مودال $n$ ام
$\mu$	ضریب میرایی ویسکوز
$\rho$	چگالی تیر
$\phi_n$	شکل مود خطی $n$ ام تیر ترک‌دار
$\omega_n$	فرکانس طبیعی بی‌بعد $n$ ام تیر ترک‌دار

#### منابع

1- Khadem SE, Rezaee M. An analytical approach for obtaining the location and depth of an all-over part-through crack on externally in-plane loaded rectangular plate using vibration analysis. *Journal of Sound and Vibration*. 2000;230(2):291-308.

2- Khiem NT, Toan LK. A novel method for crack detection in beam-like structures by measurements of natural frequencies. *Journal of Sound and Vibration*. 2014;333(18):4084-4103.

3- Mungla MJ, Sharma DS, Trivedi RR. Identification of a crack in clamped-clamped beam using frequency-based method and genetic algorithm. *Procedia Engineering*. 2016;144:1426-1434.

4- Dahak M, Touat N, Benseddiq N. On the classification of normalized natural frequencies for damage detection in cantilever beam. *Journal of Sound and Vibration*. 2017;402:70-84.

5- Cao M, Ye L, Zhou L, Su Z, Bai R. Sensitivity of fundamental mode shape and static deflection for

linear free and forced vibration of clamped-clamped functionally graded beam with discontinuities. *Procedia Engineering*. 2017;199:1870-1875.

25- Nayfeh AH, Mook DT. *Nonlinear oscillations*. Hoboken: Wiley; 1979.

26- Meirovitch L. *Analytical methods in vibrations*. London: Macmillan; 1967.

27- Lin HP, Chang SC, Wu JD. Beam vibrations with an arbitrary number of cracks. *Journal of Sound and Vibration*. 2002;258(5):987-999.

22- Kitipornchai S, Ke LL, Yang J, Xiang Y. Nonlinear vibration of edge cracked functionally graded Timoshenko beams. *Journal of Sound and Vibration*. 2009;324(3-5):962-982.

23- Chajdi M, Merrimi EB, ELBikri K. Geometrically nonlinear free vibration of composite materials: Clamped-clamped functionally graded beam with an edge crack using Homogenisation method. *Key Engineering Materials*. 2017;730:521-526.

24- Chajdi M, Merrimi EB, El Bikri Kh. Geometrically non-